

Возбуждение поверхностных волн в проводнике коротким лазерным импульсом

С.А.Урюпин, А.А.Фролов

Изучена возможность возбуждения поверхностных волн в проводнике, на который воздействует падающее вдоль нормали к поверхности сфокусированное фемтосекундное лазерное излучение. Показано, что зависящая от времени пондеромоторная сила приводит к возбуждению поверхностных волн в терагерцевом диапазоне частот. Показано также, что полная энергия и амплитуда импульса поверхностных волн возрастает с увеличением эффективной частоты столкновений электронов.

Ключевые слова: поверхностная волна, фемтосекундный лазерный импульс, терагерцевый диапазон частот, частота столкновений.

1. Введение

Интерес к изучению поверхностных волн обусловлен не только их необычными физическими свойствами, но и возможностью использования этих волн для решения важных прикладных задач, таких как диагностика поверхности [1], генерация электронных пучков [2], генерация терагерцевого излучения [3]. Линейной теории поверхностных волн в проводниках посвящена обширная литература (см., напр., книги [1, 4] и цитируемые в них работы). В рамках линейной теории весьма детально описаны законы дисперсии волн и методы их возбуждения. Нелинейные методы возбуждения изучены в существенно меньшей степени. Вместе с тем в экспериментах по взаимодействию фемтосекундных импульсов лазерного излучения с проводниками, когда наряду с генерацией гармоник [5] и терагерцевого излучения [6] происходит возбуждение поверхностных волн, возникает необходимость в выходе за рамки линейной теории. Указания на необходимость разработки нелинейной теории возбуждения поверхностных волн есть, в частности, в экспериментах [7, 8]. Ранее обсуждались такие нелинейные механизмы возбуждения поверхностных волн, как вынужденное комптоновское рассеяние [9], мгновенная пространственная модуляция показателя преломления в области воздействия лазерного УКИ [10, 11], параметрический распад волны накачки на две поверхностные волны [12]. В [13] развита теория нелинейного возбуждения поверхностных волн при прохождении лазерного импульса через границу плазма–вакуум.

В настоящей работе, в отличие от [9]–[13], рассмотрен еще один способ возбуждения поверхностных волн в про-

воднике, который реализуется при пондеромоторном воздействии сфокусированного импульсного лазерного излучения. Порождаемая лазерным импульсом пондеромоторная сила приводит к направленному движению электронов. При этом в скин-слое проводника возникает изменяющийся за время действия импульса вихревой ток. Этот медленно изменяющийся ток является источником низкочастотного электромагнитного поля, которое высвечивается из металла в окружающее пространство. В разд.2 приведена необходимая информация о форме воздействующего импульса и виде пондеромоторного потенциала в проводнике. Возникающее благодаря неоднородности и нестационарности пондеромоторного потенциала низкочастотное поле в проводнике изучено в разд.3. Отвечающее поверхностной волне низкочастотное поле в вакууме описано в разд.4. Там же найдены компоненты фурье-образов низкочастотного поля в вакууме и проводнике. Распределение энергии по частотам, полная энергия и структура магнитного поля поверхностной волны в волновой зоне описаны в разд.5 применительно к воздействию на проводник гауссова импульса. Показано, что распределение энергии по частотам имеет колоколообразный вид с максимумом вблизи частоты $\sim 1/\tau_*$, где $\tau_* = \tau \sqrt{1 + R^2/L^2}$, время τ определяет длительность гауссова импульса $t_p = 2\tau \sqrt{\ln 2}$, R характеризует размер фокального пятна, а $L = c\tau$ – длину импульса, c – скорость света. Положение данного максимума почти не зависит от частоты столкновений электронов в низкочастотном поле v_s . Если $v_s \tau_* \ll 1$, то величина максимума не зависит от v_s , а в пределе частых столкновений электронов, когда $v_s \tau_* \gg 1$, она возрастает пропорционально $\sqrt{v_s \tau_*}$. Вследствие этого и полная энергия поверхностной волны возрастает пропорционально $\sqrt{v_s \tau_*}$. Установлено, что поверхностная волна распространяется в виде импульса электромагнитного поля, длительность которого порядка τ_* .

2. Высокочастотное поле и пондеромоторный потенциал

Рассмотрим воздействие на проводник, занимающий полупространство $z > 0$, импульса лазерного излучения,

С.А.Урюпин. Физический институт им. П.Н.Лебедева РАН, Россия, 119991 Москва, Ленинский просп., 53; Национальный исследовательский ядерный университет «МИФИ», Россия, 115409 Москва, Каширское ш., 31; e-mail: uryupin@sci.lebedev.ru
А.А.Фролов. Объединенный институт высоких температур РАН, Россия, 125412 Москва, ул. Ижорская, 13, стр. 2

Поступила в редакцию 18 июня 2013 г., после доработки – 5 сентября 2013 г.

распространяющегося вдоль оси z . Предположим, что несущая частота импульса ω_0 много больше $1/\tau$ и излучение слабо сфокусировано в область, характерный размер которой R много больше c/ω_0 . Без значительного ограничения общности будем считать, что импульс имеет гауссово распределение интенсивности в плоскости $xу$. В этих предположениях электрическое поле падающего импульса представим в виде

$$E_L^{\text{inc}}(\mathbf{r}, t) = \frac{1}{2} E_L \left(t - \frac{z}{c} \right) \exp \left[-i\omega_0 \left(t - \frac{z}{c} \right) - \frac{\rho^2}{2R^2} \right] + \text{компл. сопр.}, \quad (1)$$

где $E_L(t)$ – слабо изменяющаяся за время $\sim \tau$ напряженность электрического поля на оси z ; $\rho = \sqrt{x^2 + y^2}$; $\mathbf{r} = (\rho, z)$. Ограничимся рассмотрением воздействия поля (1) в условиях, когда несущая частота излучения ω_0 и частота столкновений электронов в высокочастотном поле ν_h удовлетворяют неравенству

$$|\omega_0 + i\nu_h| \gg |\kappa_L(\omega_0)|\nu, \quad (2)$$

где ν – характерная скорость электронов, а волновое число $\kappa_L(\omega_0)$ определяет масштаб изменения поля вдоль оси z в проводнике $\delta \sim 1/|\kappa_L(\omega_0)|$:

$$\kappa_L(\omega_0) = \frac{\omega_0}{c} \sqrt{\frac{\omega_p^2}{\omega_0(\omega_0 + i\nu_h)} - \varepsilon_0(\omega_0)}. \quad (3)$$

В формуле (3) ω_p – плазменная частота, а $\varepsilon_0(\omega_0) = \varepsilon_0'(\omega_0) + i\varepsilon_0''(\omega_0)$ – вклад в диэлектрическую проницаемость проводника связанных электронов и решетки. В этих условиях поле (1) создает в проводнике неоднородное поле

$$E_L(\mathbf{r}, t) = E_L(t) \frac{\omega_0}{\omega_0 + i\kappa_L(\omega_0)} \exp \left[-i\omega_0 t - \kappa_L(\omega_0)z - \frac{\rho^2}{2R^2} \right] + \text{компл. сопр.}, \quad z > 0. \quad (4)$$

Это поле оказывает пондеромоторное воздействие на электроны. В том случае, когда несущая частота ω_0 значительно превышает частоту столкновений электронов ν_h , отвечающий полю (4) пондеромоторный потенциал имеет вид

$$\Phi(\mathbf{r}, t) = \frac{e^2 E_L^2(t)}{m|\omega_0 + i\kappa_L(\omega_0)|^2} \exp \left[-2 \text{Re} \kappa_L(\omega_0)z - \frac{\rho^2}{R^2} \right], \quad (5)$$

где e – заряд, а m – эффективная масса электрона.

3. Низкочастотное поле в проводнике

Пондеромоторное воздействие импульса с медленно изменяющейся во времени амплитудой поля приводит к возникновению низкочастотного тока и низкочастотного поля в проводнике. Для определения плотности низкочастотного тока воспользуемся уравнением

$$\frac{\partial}{\partial t} \mathbf{j}(\mathbf{r}, t) + \nu_s \mathbf{j}(\mathbf{r}, t) = \frac{\omega_p^2}{4\pi} \left[\mathbf{E}(\mathbf{r}, t) - \frac{1}{c} \nabla \Phi(\mathbf{r}, t) \right], \quad (6)$$

где $\mathbf{E}(\mathbf{r}, t)$ – низкочастотное электрическое поле в проводнике; ν_s – частота столкновений электронов в низкочастотном поле, которая отличается от частоты ν_h вследствие зависимости частоты электрон-электронных столкновений от частоты поля [14]. Для описания низкочастотного электромагнитного поля уравнение (6) следует дополнить уравнениями Максвелла для электрического поля $\mathbf{E}(\mathbf{r}, t)$ и магнитного поля $\mathbf{B}(\mathbf{r}, t)$:

$$\text{rot} \mathbf{E}(\mathbf{r}, t) = -\frac{1}{c} \frac{\partial}{\partial t} \mathbf{B}(\mathbf{r}, t), \quad (7)$$

$$\text{rot} \mathbf{B}(\mathbf{r}, t) = \frac{1}{c} \frac{\partial}{\partial t} \mathbf{D}(\mathbf{r}, t) + \frac{4\pi}{c} \mathbf{j}(\mathbf{r}, t), \quad (8)$$

где $\mathbf{D}(\mathbf{r}, t)$ – электрическая индукция. При построении решения уравнений (6)–(8) воспользуемся преобразованием Фурье по времени t и координате $\rho = (x, y)$:

$$\mathbf{F}(\mathbf{k}_\perp, z, \omega) = \int dt d\rho \exp(i\omega t - i\mathbf{k}_\perp \rho) \mathbf{F}(\mathbf{r}, t), \quad (9)$$

$$\mathbf{F}(\mathbf{r}, t) = \int \frac{d\omega d\mathbf{k}_\perp}{(2\pi)^3} \exp(-i\omega t + i\mathbf{k}_\perp \rho) \mathbf{F}(\mathbf{k}_\perp, z, \omega),$$

где $\mathbf{k}_\perp = (k_x, k_y)$ – волновой вектор в плоскости $xу$, а $\mathbf{F}(\mathbf{r}, t)$ – одна из функций $\mathbf{j}(\mathbf{r}, t)$, $\mathbf{E}(\mathbf{r}, t)$, $\mathbf{B}(\mathbf{r}, t)$ или $\mathbf{D}(\mathbf{r}, t)$. В силу аксиальной симметрии пондеромоторного потенциала (5) плотность тока, поля и вектор индукции имеют вид

$$\mathbf{j}(\mathbf{r}, t) = (j_\rho(\mathbf{r}, t), 0, j_z(\mathbf{r}, t)), \quad \mathbf{E}(\mathbf{r}, t) = (E_\rho(\mathbf{r}, t), 0, E_z(\mathbf{r}, t)),$$

$$\mathbf{B}(\mathbf{r}, t) = (0, B_\varphi(\mathbf{r}, t), 0), \quad \mathbf{D}(\mathbf{r}, t) = (D_\rho(\mathbf{r}, t), 0, D_z(\mathbf{r}, t)).$$

После преобразования Фурье из уравнений (7) и (8) получаем систему уравнений для фурье-образов компонент электрического и магнитного полей:

$$\frac{d}{dz} E_\rho(\mathbf{k}_\perp, z, \omega) - i\mathbf{k}_\perp E_z(\mathbf{k}_\perp, z, \omega) = \frac{i\omega}{c} B_\varphi(\mathbf{k}_\perp, z, \omega),$$

$$-\frac{d}{dz} B_\varphi(\mathbf{k}_\perp, z, \omega) = -\frac{i\omega}{c} \varepsilon_0(\omega) E_\rho(\mathbf{k}_\perp, z, \omega) + \frac{4\pi}{c} j_\rho(\mathbf{k}_\perp, z, \omega), \quad (10)$$

$$i\mathbf{k}_\perp B_\varphi(\mathbf{k}_\perp, z, \omega) = -\frac{i\omega}{c} \varepsilon_0(\omega) E_z(\mathbf{k}_\perp, z, \omega) + \frac{4\pi}{c} j_z(\mathbf{k}_\perp, z, \omega), \quad z > 0.$$

При преобразовании уравнения (8) использовалась связь фурье-образа вектора индукции и электрического поля $\mathbf{D}(\mathbf{r}, \omega) = \varepsilon_0(\omega) \mathbf{E}(\mathbf{r}, \omega)$. Уравнения (6) и (10) справедливы в области $z > 0$. Принимая во внимание явный вид пондеромоторного потенциала (5), продолжим эти уравнения и искомые функции в область $z < 0$:

$$B_\varphi(\mathbf{k}_\perp, -z, \omega) = -B_\varphi(\mathbf{k}_\perp, z, \omega), \quad E_\rho(\mathbf{k}_\perp, -z, \omega) = E_\rho(\mathbf{k}_\perp, z, \omega),$$

$$E_z(\mathbf{k}_\perp, -z, \omega) = -E_z(\mathbf{k}_\perp, z, \omega), \quad \Phi(\mathbf{k}_\perp, -z, \omega) = \Phi(\mathbf{k}_\perp, z, \omega), \quad (11)$$

$$j_z(\mathbf{k}_\perp, -z, \omega) = -j_z(\mathbf{k}_\perp, z, \omega), \quad j_\rho(\mathbf{k}_\perp, -z, \omega) = j_\rho(\mathbf{k}_\perp, z, \omega).$$

Учитывая соотношения (11), из уравнения (6) после преобразования Фурье по времени и координатам находим фурье-образ плотности тока

$$\mathbf{j}(\mathbf{k}, \omega) = \frac{i}{4\pi} \frac{\omega_p^2}{(\omega + i\nu_s)} \left[\mathbf{E}(\mathbf{k}, \omega) - i \frac{\mathbf{k}}{c} \Phi(\mathbf{k}, \omega) \right]. \quad (12)$$

Далее, используя выражения (11), (12) и преобразование Фурье по координате z (см. (9)), из уравнений (10) получаем соотношения

$$\begin{aligned} k_z E_\rho(\mathbf{k}, \omega) - k_\perp E_z(\mathbf{k}, \omega) &= \frac{\omega}{c} B_\varphi(\mathbf{k}, \omega), \\ -ik_z B_\varphi(\mathbf{k}, \omega) + \Delta B_\varphi(\mathbf{k}_\perp, \omega) & \\ = -\frac{i\omega}{c} \varepsilon(\omega) E_\rho(\mathbf{k}, \omega) + \frac{1}{c} \frac{\omega_p^2}{(\omega + iv_s)} \frac{k_\perp}{e} \Phi(\mathbf{k}, \omega), & \\ ik_\perp B_\varphi(\mathbf{k}, \omega) = -\frac{i\omega}{c} \varepsilon(\omega) E_z(\mathbf{k}, \omega) + \frac{1}{c} \frac{\omega_p^2}{(\omega + iv_s)} \frac{k_z}{e} \Phi(\mathbf{k}, \omega), & \end{aligned} \quad (13)$$

где

$$\begin{aligned} \Delta B_\varphi(\mathbf{k}_\perp, \omega) &= B_\varphi(\mathbf{k}_\perp, z = +0, \omega) - B_\varphi(\mathbf{k}_\perp, z = -0, \omega) \\ &= 2B_\varphi(\mathbf{k}_\perp, z = +0, \omega) \end{aligned}$$

– скачок функции $B_\varphi(\mathbf{k}_\perp, z, \omega)$ на плоскости $z = 0$ из-за нечетного продолжения в область $z < 0$;

$$\varepsilon(\omega) = \varepsilon_0(\omega) - \frac{\omega_p^2}{\omega(\omega + iv_s)} \quad (14)$$

– диэлектрическая проницаемость проводника при условии $|\omega + iv_s| \gg kv$. Решение системы уравнений (13) для компонент фурье-образов электромагнитного поля имеет вид

$$B_\varphi(\mathbf{k}, \omega) = \frac{2ik_z c^2}{\omega^2 \varepsilon(\omega) - k^2 c^2} B_\varphi(\mathbf{k}_\perp, z = +0, \omega), \quad (15)$$

$$\begin{aligned} E_\rho(\mathbf{k}, \omega) &= \frac{2i\omega c}{k^2} B_\varphi(\mathbf{k}_\perp, z = +0, \omega) \\ &\times \left[\frac{k_z^2}{\omega^2 \varepsilon(\omega) - k^2 c^2} + \frac{k_\perp^2}{\omega^2 \varepsilon(\omega)} \right] - \frac{ik_\perp \omega_p^2}{\omega(\omega + iv_s)} \frac{\Phi(\omega, \mathbf{k})}{e\varepsilon(\omega)}, \quad (16) \end{aligned}$$

$$\begin{aligned} E_z(\mathbf{k}, \omega) &= -B_\varphi(\mathbf{k}_\perp, z = +0, \omega) \\ &\times \frac{2i}{\omega \varepsilon(\omega)} \frac{k_z k_\perp c^3}{\omega^2 \varepsilon(\omega) - k^2 c^2} - \frac{ik_z \omega_p^2}{\omega(\omega + iv_s)} \frac{\Phi(\omega, \mathbf{k})}{e\varepsilon(\omega)}. \quad (17) \end{aligned}$$

Используя обратное преобразование Фурье по координате z (см. (9)), из соотношений (15)–(17) находим выражения для функций $B_\varphi(\mathbf{k}_\perp, z, \omega)$, $E_\rho(\mathbf{k}_\perp, z, \omega)$ и $E_z(\mathbf{k}_\perp, z, \omega)$ в проводнике:

$$B_\varphi(\mathbf{k}_\perp, z, \omega) = B_\varphi(\mathbf{k}_\perp, z = +0, \omega) \exp(-\kappa z), \quad (18)$$

$$\begin{aligned} E_\rho(\mathbf{k}_\perp, z, \omega) &= \frac{i\kappa c}{\omega \varepsilon(\omega)} B_\varphi(\mathbf{k}_\perp, z = +0, \omega) \exp(-\kappa z) \\ &- \frac{ik_\perp \omega_p^2}{\omega(\omega + iv_s)} \frac{\Phi(\mathbf{k}_\perp, z, \omega)}{e\varepsilon(\omega)}, \quad (19) \end{aligned}$$

$$\begin{aligned} E_z(\mathbf{k}_\perp, z, \omega) &= -\frac{ck_\perp}{\omega \varepsilon(\omega)} B_\varphi(\mathbf{k}_\perp, z = +0, \omega) \exp(-\kappa z) \\ &- \frac{\omega_p^2}{\omega(\omega + iv_s)} \frac{\partial}{\partial z} \frac{\Phi(\mathbf{k}_\perp, z, \omega)}{e\varepsilon(\omega)}, \quad (20) \end{aligned}$$

где

$$\begin{aligned} \kappa &= \sqrt{k_\perp^2 - \omega^2 \varepsilon(\omega)/c^2} = \kappa_1 - i\kappa_2; \quad \varepsilon(\omega) = \varepsilon'(\omega) + i\varepsilon''(\omega); \\ \kappa_s &= \frac{1}{c\sqrt{2}} \left\{ \sqrt{[k_\perp^2 c^2 - \omega^2 \varepsilon'(\omega)]^2 + [\omega^2 \varepsilon''(\omega)]^2} \right. \\ &\quad \left. - (-1)^s [k_\perp^2 c^2 - \omega^2 \varepsilon'(\omega)] \right\}^{1/2}, \quad s = 1, 2. \quad (21) \end{aligned}$$

Величина $1/\kappa_1$ определяет размер области локализации низкочастотного поля в проводнике вблизи его поверхности.

4. Низкочастотное поле в вакууме. Поверхностная волна

Низкочастотное электромагнитное поле в вакууме, когда $z < 0$, описывается системой уравнений (10), если в них положить $\mathbf{j}(\mathbf{k}_\perp, z, \omega) = 0$, $\varepsilon_0(\omega) = 1$. В дальнейшем будем рассматривать только ту часть электромагнитного поля в вакууме, которая отвечает поверхностной волне, поле которой локализовано вблизи границы проводника. Таким образом, ищем решение видоизмененной системы уравнений (10) при условии

$$k_\perp c > |\omega|. \quad (22)$$

Для таких k_\perp и ω имеем следующее решение:

$$B_\varphi(\mathbf{k}_\perp, z, \omega) = B_\varphi(\mathbf{k}_\perp, z = -0, \omega) \exp(\kappa_0 z), \quad (23)$$

$$E_\rho(\mathbf{k}_\perp, z, \omega) = -i \frac{ck_0}{\omega} B_\varphi(\mathbf{k}_\perp, z = -0, \omega) \exp(\kappa_0 z), \quad (24)$$

$$E_z(\mathbf{k}_\perp, z, \omega) = -\frac{ck_\perp}{\omega} B_\varphi(\mathbf{k}_\perp, z = -0, \omega) \exp(\kappa_0 z), \quad (25)$$

где $\kappa_0 = \sqrt{k_\perp^2 - \omega^2/c^2}$; $B_\varphi(\mathbf{k}_\perp, z = -0, \omega)$ – неизвестная функция. Для определения функций $B_\varphi(\mathbf{k}_\perp, z = +0, \omega)$ и $B_\varphi(\mathbf{k}_\perp, z = -0, \omega)$ воспользуемся условиями непрерывности тангенциальных компонент электромагнитного поля на границе проводника. Приравняв компоненты $B_\varphi(\mathbf{k}_\perp, z, \omega)$ и $E_\rho(\mathbf{k}_\perp, z, \omega)$ на плоскости $z = 0$, из формул (18), (19), (23), (24), находим

$$\begin{aligned} B_\varphi(\mathbf{k}_\perp, z = -0, \omega) &= B_\varphi(\mathbf{k}_\perp, z = +0, \omega) \\ &= \frac{k_\perp \omega_p^2}{(\omega + iv_s) c [\kappa + \kappa_0 \varepsilon(\omega)]} \frac{\Phi(\mathbf{k}_\perp, z = 0, \omega)}{e}. \quad (26) \end{aligned}$$

Соотношения (23)–(26) полностью определяют фурье-образы компонент локализованного у поверхности проводника низкочастотного поля в вакууме. Эти фурье-образы, а также описываемые формулами (18)–(20), пропорциональны фурье-образу пондеромоторного потенциала на поверхности проводника $\Phi(\mathbf{k}_\perp, z = 0, \omega)$. Для пондеромоторного потенциала (5) фурье-образ

$$\begin{aligned} \Phi(\mathbf{k}_\perp, z, \omega) &= \frac{e^2}{m} \frac{\pi R^2}{|\omega_0 + i\kappa_L(\omega_0)|^2} \\ &\times \exp \left[-2\text{Re} \kappa_L(\omega_0) z - \frac{k_\perp^2 R^2}{4} \right] \int_{-\infty}^{+\infty} dt E_L^2(t) \exp(i\omega t). \quad (27) \end{aligned}$$

Выражения (18)–(27) позволяют найти отвечающее поверхностной волне электромагнитное поле в вакууме и в проводнике. Выражения (23)–(25) пригодны для описания только части поля, локализованной у поверхности проводника. Эта часть поля определяется фурье-образами полей, имеющих достаточно большие волновые векторы в плоскости, компланарной поверхности проводника: $k_{\perp}c > |\omega|$ (22). Поэтому, восстанавливая зависимость поля от координаты ρ с помощью обратного преобразования Фурье по ρ (9), ограничим снизу область интегрирования по k_{\perp} величиной $|\omega|/c$. Тогда из формул (18), (22), (26), (27) для зависящей от частоты и локализованной у поверхности проводника азимутальной компоненты фурье-образа магнитного поля получаем

$$B_{\varphi}(\mathbf{r}, \omega) = \frac{\omega_p^2}{|\omega_0 + i\kappa_{\perp L}(\omega_0)|^2} \frac{e}{mc} \frac{\pi R^2}{\omega + iv_s} \int_{\omega/c}^{\infty} \frac{k_{\perp}^2 dk_{\perp}}{2\pi} \frac{J_0(k_{\perp}\rho)}{\kappa + \kappa_0\varepsilon(\omega)} \times \exp\left(-\frac{k_{\perp}^2 R^2}{4}\right) [\eta(-z)\exp(\kappa_0 z) + \eta(z)\exp(-\kappa z)] \times \int_{-\infty}^{+\infty} dt E_L^2(t) \exp(i\omega t), \quad \omega > 0, \quad (28)$$

где $\eta(z)$ – единичная ступенчатая функция Хевисайда; $J_0(k_{\perp}\rho)$ – функция Бесселя нулевого порядка. В знаменателе формулы (28) стоит функция $\kappa + \kappa_0\varepsilon(\omega)$, которую, учитывая явные выражения для κ_0 и κ , можно представить в виде

$$\kappa + \kappa_0\varepsilon(\omega) = \frac{1 - \varepsilon^2(\omega)}{\kappa - \kappa_0\varepsilon(\omega)} \left[k_{\perp}^2 - \frac{\omega^2}{c^2} \frac{\varepsilon(\omega)}{\varepsilon(\omega) + 1} \right]. \quad (29)$$

Выражение (29) равно нулю, если

$$k_{\perp}^2 = \frac{\omega^2}{c^2} \left[1 + \frac{1}{|\varepsilon'(\omega)| - 1 - i\varepsilon''(\omega)} \right], \quad (30)$$

где $\varepsilon''(\omega) = \omega_p^2 v_s [\omega(\omega^2 + v_s^2)] + \varepsilon_0''(\omega) > 0$ и учтено, что для часто реализующихся условий $\omega_p^2 \gg (\omega^2 + v_s^2) |\varepsilon_0'(\omega)|$ и $|\varepsilon'(\omega)| = -\varepsilon''(\omega) = \omega_p^2 / (\omega^2 + v_s^2) - \varepsilon_0'(\omega) > 0$. Отметим, что в области низких частот абсолютное значение действительной части диэлектрической проницаемости обычно много больше единицы, $|\varepsilon'(\omega)| \gg 1$, и в знаменателе формулы (30) можно пренебречь единицей:

$$k_{\perp} \simeq \frac{\omega}{c} \left[1 + \frac{1}{2|\varepsilon'(\omega)| - i\varepsilon''(\omega)} \right]. \quad (31)$$

Соотношения (30) и (31) дают закон дисперсии волн, распространяющихся вдоль поверхности проводника (см., напр., [4]). Тем самым выражение под интегралом в формуле (28) имеет полюс первого порядка в плоскости комплексной переменной k_{\perp} . Рассмотрим низкочастотное поле на больших расстояниях от области фокального пятна, когда выполняются неравенства $\rho \gg R, c/\omega$. В этом случае при вычислении интеграла по переменной k_{\perp} можно воспользоваться асимптотическим представлением функции Бесселя:

$$J_0(k_{\perp}\rho) \approx \sqrt{\frac{2}{\pi k_{\perp}\rho}} \cos\left(k_{\perp}\rho - \frac{\pi}{4}\right), \quad k_{\perp}\rho \gg 1. \quad (32)$$

Для вычисления интеграла по k_{\perp} в (28) выберем контур интегрирования в плоскости k_{\perp} , как показано на рис.1. Точкой на рис.1 обозначен полюс, отвечающий поверхностной волне (30), (31). Интеграл по дуге бесконечно большого радиуса равен нулю. Интеграл вдоль луча, идущего из точки ω/c под углом $\pi/4$ к вещественной оси, при $\rho \gg R$ экспоненциально мал. Поэтому основной вклад в искомым интеграл (28) возникает от вычета в полюсе. Учитывая вклад от полюса (31) и формулу (32), из (28) находим следующее выражение для фурье-образа азимутальной компоненты магнитного поля на поверхности проводника:

$$B_{\varphi}(\rho, z = 0, \omega) \simeq -\frac{e}{mc(\omega + iv_s)} \sqrt{\frac{\pi}{2}} \frac{\omega_p^2}{|\omega_0 + i\kappa_{\perp L}(\omega_0)|^2} \left(\frac{\omega R}{c}\right)^2 \times [|\varepsilon'(\omega)| - i\varepsilon''(\omega)]^{-3/2} \sqrt{\frac{c}{\omega\rho}} \exp\left\{i\frac{\pi}{4} + i\frac{\omega}{2c}\rho\right\} \times \left[2 + \frac{1}{|\varepsilon'(\omega)| - i\varepsilon''(\omega)}\right] - \frac{\omega^2 R^2}{4c^2} \left[1 + \frac{1}{|\varepsilon'(\omega)| - i\varepsilon''(\omega)}\right] \times \int_{-\infty}^{+\infty} dt E_L^2(t) \exp(i\omega t), \quad \omega > 0. \quad (33)$$

Совершенно аналогично из (23)–(25) находим фурье-образы компонент электромагнитного поля в вакууме:

$$E_z(\mathbf{r}, \omega) = -B_{\varphi}(\mathbf{r}, \omega),$$

$$E_{\rho}(\mathbf{r}, \omega) = -\frac{i}{\sqrt{|\varepsilon'(\omega)| - i\varepsilon''(\omega)}} B_{\varphi}(\mathbf{r}, \omega), \quad (34)$$

$$B_{\varphi}(\mathbf{r}, \omega) \simeq B_{\varphi}(\rho, z = 0, \omega) \exp\left[\frac{\omega z}{c\sqrt{|\varepsilon'(\omega)| - i\varepsilon''(\omega)}}\right], \quad z < 0, \omega > 0,$$

а из (18)–(20), с учетом (26) и (27), – те же величины в проводнике:

$$E_z(\mathbf{r}, \omega) = \frac{1}{|\varepsilon'(\omega)| - i\varepsilon''(\omega)} B_{\varphi}(\mathbf{r}, \omega),$$

$$E_{\rho}(\mathbf{r}, \omega) = -\frac{i}{\sqrt{|\varepsilon'(\omega)| - i\varepsilon''(\omega)}} B_{\varphi}(\mathbf{r}, \omega), \quad (35)$$

$$B_{\varphi}(\mathbf{r}, \omega) \simeq B_{\varphi}(\rho, z = 0, \omega) \exp\left[-\frac{\omega z}{c} \sqrt{|\varepsilon'(\omega)| - i\varepsilon''(\omega)}\right], \quad z > 0, \omega > 0.$$

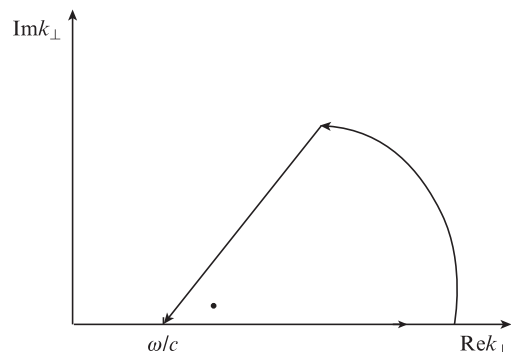


Рис.1. Контур интегрирования в формуле (28).

Выражения (33)–(35) описывают расходящуюся из области фокального пятна поверхностную волну, амплитуда которой убывает с расстоянием пропорционально $1/\sqrt{\rho}$. Согласно (33) наличие диссипации, обусловленной столкновениями электронов, а также поглощением поля решеткой и связанными электронами, приводит к затуханию поверхностной волны на больших расстояниях, когда

$$\rho \geq \rho_m \approx 2 \frac{c}{\omega} \frac{|\varepsilon'(\omega)|^2 + \varepsilon''(\omega)}{\varepsilon''(\omega)}. \quad (36)$$

Поэтому будем рассматривать характеристики поверхностной волны в области $\rho < \rho_m$, когда изменением амплитуды волны из-за диссипации можно пренебречь. Такая область существует, если $\rho_m \gg R, c/\omega$. Отметим, что область локализации поля поверхностной волны со стороны вакуума

$$\delta_v \approx \frac{c}{\omega \sqrt{2}} \{[\varepsilon'^2(\omega) + \varepsilon''(\omega)]^{1/2} + |\varepsilon'(\omega)|\}^{1/2} \quad (37)$$

значительно больше глубины проникновения поля в проводник:

$$\delta_m \approx \delta_v [\varepsilon'^2(\omega) + \varepsilon''(\omega)]^{-1/2} \ll \delta_v. \quad (38)$$

5. Физические характеристики поверхностной волны

Для вычисления энергии W , переносимой поверхностной волной, рассмотрим цилиндрическую поверхность радиусом ρ и длиной dz , ось симметрии которой совпадает с направлением движения лазерного импульса и проходит через начало координат. За все время через эту поверхность по нормали к ней проходит энергия, равная произведению проинтегрированной по времени плотности потока энергии

$$\mathbf{P}(\mathbf{r}) = \int_{-\infty}^{+\infty} dt \frac{c}{4\pi} [\mathbf{E}(\mathbf{r}, t) \mathbf{B}(\mathbf{r}, t)] \quad (39)$$

и элемента площадки $2\pi\rho dz$:

$$dW = 2\pi\rho dz \int_0^\infty d\omega \frac{c}{8\pi^2} \{[\mathbf{E}(\mathbf{r}, \omega) \mathbf{B}^*(\mathbf{r}, \omega)] + \text{компл. сопр.}\}. \quad (40)$$

Интегрируя выражение (40) по координате z от $-\infty$ до $+\infty$ и используя соотношения (34), (35), находим энергию поверхностных волн, приходящуюся на единичный интервал частот $d\omega$:

$$\frac{dW}{d\omega} = \frac{c\rho}{2\pi} \left[\int_{-\infty}^0 dz |B_\varphi(\mathbf{r}, \omega)|^2 - \frac{|\varepsilon'(\omega)|}{\varepsilon'^2(\omega) + \varepsilon''(\omega)} \int_0^{+\infty} dz |B_\varphi(\mathbf{r}, \omega)|^2 \right]. \quad (41)$$

Из формулы (41) и соотношений (34), (35) следует, что энергия поверхностной волны в вакууме значительно превышает ее энергию в проводнике. Вычисляя в формуле (41) интеграл по области вакуума, получаем спектральное распределение энергии поверхностных волн

$$\begin{aligned} \frac{dW}{d\omega} &= \frac{\omega_p^4}{|\omega_0 + i\kappa_L(\omega_0)|^4} \frac{\sqrt{2} e^2 R^4}{8m^2 c^3} \\ &\times \frac{\omega^2}{\omega^2 + \nu_s^2} \left[\int_{-\infty}^{+\infty} dt E_L^2(t) \exp(i\omega t) \right]^2 \\ &\times \frac{1}{\varepsilon'^2(\omega) + \varepsilon''(\omega)} \left[\sqrt{\varepsilon'^2(\omega) + \varepsilon''(\omega)} + |\varepsilon'(\omega)| \right]^{-1/2} \\ &\times \exp \left\{ -\frac{\omega^2 R^2}{2c^2} \left[1 + \frac{|\varepsilon'(\omega)|}{\varepsilon'^2(\omega) + \varepsilon''(\omega)} \right] \right\}, \quad \omega > 0. \quad (42) \end{aligned}$$

Согласно (42) распределение энергии по спектру зависит не только от физических характеристик проводника, но и от формы воздействующего импульса лазерного излучения. Исследуем подробнее спектральный состав генерируемого поля в часто обсуждаемом случае, когда форма импульса описывается распределением Гаусса:

$$E_L^2(t) = E_L^2 \exp(-t^2/\tau^2). \quad (43)$$

Рассмотрим распределение (42) в типичных для многих экспериментов условиях, когда выполнены неравенства

$$\begin{aligned} \frac{\omega_p^2}{\omega^2 + \nu_s^2} \gg |\varepsilon'_0(\omega)|, \quad \frac{\omega_p^2}{\omega^2 + \nu_s^2} \frac{\nu_s}{\omega} \gg |\varepsilon''_0(\omega)|, \\ \omega_0 \gg \nu_h, \quad \frac{\omega_p^2}{\omega_0^2} \gg |\varepsilon'_0(\omega_0)|. \quad (44) \end{aligned}$$

Для импульса (43) при условиях (44) выражение (42) принимает вид

$$\frac{dW}{d\Omega} = \frac{8\sqrt{2} e^2}{\sqrt{L^2 + R^2}} \frac{W_L^2}{m^2 c^4} \frac{1}{\omega_p^5 \tau^5} I(\Omega), \quad (45)$$

где $\Omega = \omega \tau_*$ – безразмерная частота; $W_L = \sqrt{\pi} E_L^2 R^2 L/8$ – энергия лазерного импульса; безразмерная функция

$$I(\Omega) = \frac{\Omega^{9/2} \sqrt{\Omega^2 + \gamma_s^2}}{\sqrt{\Omega + \sqrt{\Omega^2 + \gamma_s^2}}} \exp\left(-\frac{\Omega^2}{2}\right), \quad \gamma_s = \nu_s \tau_*. \quad (46)$$

Здесь параметр γ_s учитывает влияние столкновений электронов на распределение энергии по частотам. Описывающая спектральное распределение энергии поверх-

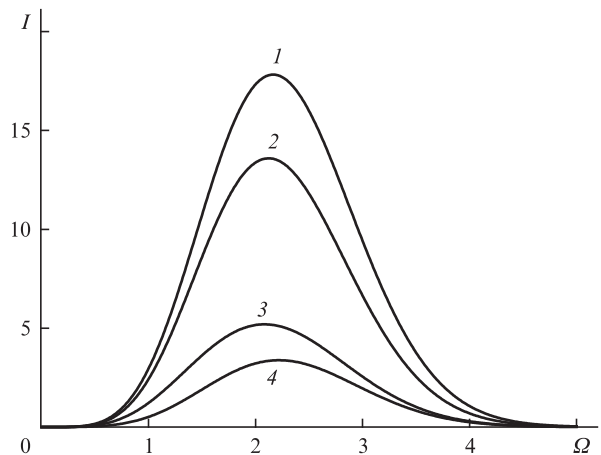


Рис.2. Зависимости нормированной спектральной плотности энергии $I(\Omega)$ (46) поверхностных волн от безразмерной частоты Ω при параметре $\gamma_s = 8$ (1), 4 (2), 1 (3) и 0.25 (4).

ностных волн функция (46) представлена на рис.2 для различных значений безразмерной частоты столкновений γ_s . Видно, что в спектре излучения имеется широкий максимум, положение которого слабо зависит от параметра γ_s . Вместе с тем при увеличении частоты столкновений амплитуда максимума возрастает. Для объяснения такого поведения рассмотрим функцию (46) подробнее. При $\gamma_s \ll 1$, что отвечает пределу редких столкновений, из формулы (46) получаем выражение

$$I(\Omega) \simeq \frac{\Omega^5}{\sqrt{2}} \exp\left(-\frac{\Omega^2}{2}\right). \quad (47)$$

В этом случае максимум спектрального распределения находится при $\Omega_{\max} \simeq \sqrt{5}$, что соответствует частоте

$$\omega_{\max} = \frac{\sqrt{5}}{\tau \sqrt{1 + R^2 L^2}}. \quad (48)$$

Если за время действия лазерного импульса происходит много столкновений электронов ($\gamma_s \gg 1$), из формулы (46) имеем соотношение

$$I_s(\Omega) \simeq \sqrt{\gamma_s} \Omega^{9/2} \exp\left(-\frac{\Omega^2}{2}\right). \quad (49)$$

Функция (49) имеет максимум при $\Omega_{\max} = 3/\sqrt{2}$, что соответствует частоте

$$\omega_{\max} = \frac{3}{\sqrt{2} \tau \sqrt{1 + R^2/L^2}}. \quad (50)$$

Частоты (48) и (50) различаются незначительно, что соответствует данным, представленным на рис.2. При острой фокусировке лазерного излучения $R \ll L$, и положение максимума спектрального распределения определяется обратной длительностью лазерного импульса: $\omega_{\max} \sim 1/\tau$. С увеличением размера фокального пятна максимум смещается в область более низких частот $\omega_{\max} \sim c/R$. Также, в согласии с рис.2, из формулы (49) видно, что в пределе частых столкновений электронов максимум функции $I(\Omega)$ возрастает пропорционально $\sqrt{\gamma_s}$.

Интегрируя выражение (45) по частотам, находим полную энергию поверхностных волн

$$W = \frac{8\sqrt{2} e^2 W_L^2}{L m^2 c^4 \omega_p^5 \tau^5 (1 + R^2 L^2)^3} w, \quad (51)$$

где

$$w = \int_0^\infty d\Omega I(\Omega) = \int_0^\infty d\Omega \frac{\Omega^{9/2} \sqrt{\Omega^2 + \gamma_s^2}}{\sqrt{\Omega + \sqrt{\Omega^2 + \gamma_s^2}}} \exp\left(-\frac{\Omega^2}{2}\right). \quad (52)$$

Из формулы (51) видно, что при фиксированных энергии и длительности лазерного импульса энергия поверхностных волн максимальна при острой фокусировке, когда выполнено условие $R \ll L$. Зависимость нормированной энергии поверхностных волн (52) от частоты столкновений электронов представлена на рис.3. При больших значениях γ_s энергия возрастает пропорционально $\sqrt{\gamma_s}$. Используя приближенные формулы (47) и (49), получаем явные выражения для величины w при малых и больших значениях γ_s . В пределе редких столкновений электронов, когда $\gamma_s \ll 1$, интегрируя (47) по Ω , находим соотношение

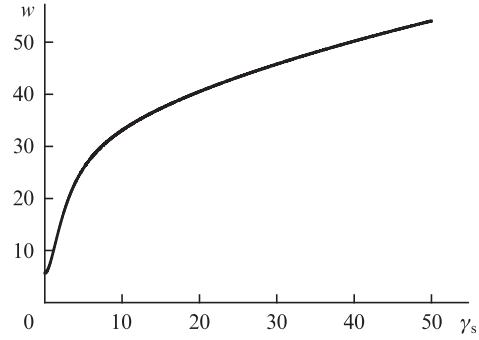


Рис.3. Зависимость нормированной энергии поверхностных волн w (52) от параметра γ_s .

$$w = \int_0^\infty d\Omega \frac{\Omega^5}{\sqrt{2}} \exp\left(-\frac{\Omega^2}{2}\right) = \frac{8}{\sqrt{2}} \simeq 5.7. \quad (53)$$

В пределе частых столкновений $\gamma_s \gg 1$, и для нормированной энергии поверхностных волн из (52) имеем выражение

$$\begin{aligned} w &= \sqrt{\gamma_s} \int_0^\infty d\Omega \Omega^{9/2} \exp\left(-\frac{\Omega^2}{2}\right) \\ &= 2^{7/4} \frac{21}{16} \Gamma\left(\frac{3}{4}\right) \sqrt{\gamma_s} \simeq 5.4 \sqrt{\gamma_s}. \end{aligned} \quad (54)$$

Проанализируем пространственно-временную структуру поверхностной волны на поверхности проводника, где $z = 0$. Применяя обратное преобразование Фурье по времени, из формул (33), (43) находим распределение магнитного поля поверхностной волны

$$B_\varphi(\rho, z = 0, t) = -\frac{eE_L^2 R^2 \tau}{2\sqrt{2} mc (\tau \tau_*)^{3/2} (\omega_p \tau_*)^3} \frac{H(\xi)}{\sqrt{\rho}}, \quad (55)$$

$$H(\xi) = 2\text{Re} \int_0^\infty dz z^3 \sqrt{z + i\gamma_s} \exp\left(i\frac{\pi}{4} + iz\xi - \frac{z^2}{4}\right), \quad (56)$$

где $\xi = (\rho/c - t)/\tau_*$ и использовано тождество $B_\varphi(\rho, z = 0, -\omega) = B_\varphi^*(\rho, z = 0, \omega)$. Зависимость (56) представлена на рис.4 для двух значений безразмерной частоты столкновений электронов γ_s . Кривая 2 соответствует пределу, когда частота столкновений меньше $1/\tau_*$. Увеличение частоты столкнове-

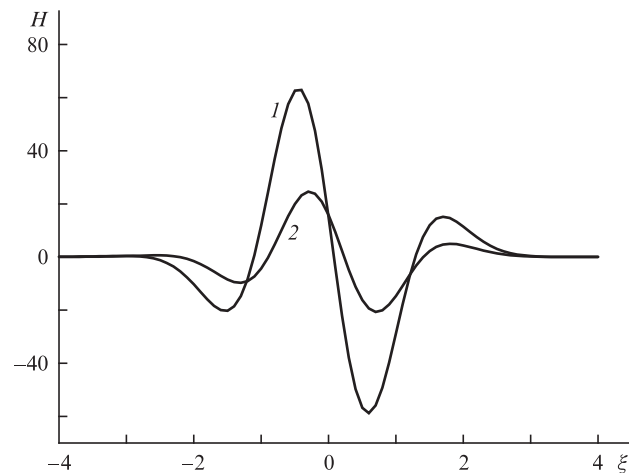


Рис.4. Пространственно-временная структура магнитного поля поверхностной волны (56) при $\gamma_s = 8$ (1) и 0.25 (2).

ний электронов приводит к росту амплитуды генерируемого магнитного поля, при этом одновременно происходит модификация пространственно-временного профиля поверхностной волны (кривая 1 на рис.4). В пределе частых столкновений, когда $\gamma_s \gg 1$, из формулы (56) находим выражение

$$H(\xi) = -2\sqrt{\pi\gamma_s} \frac{d^3}{d\xi^3} \exp(-\xi^2) \\ = -8\sqrt{\pi\gamma_s} \xi(3 - 2\xi^2) \exp(-\xi^2). \quad (57)$$

Из рис.4 и формул (56), (57) следует, что поверхностная волна распространяется вдоль поверхности металла в виде электромагнитного импульса с длительностью порядка τ_* . При острой фокусировке лазерного излучения $R \ll L$, и длительность импульса поверхностной волны сопоставима с длительностью лазерного импульса. При увеличении размера фокального пятна длительность импульса поверхностной волны увеличивается и при $R \gg L$ становится равной R/c .

6. Заключение

Рассмотрим энергию поверхностных волн для типичных параметров лазерного воздействия на проводник. Для этого перепишем формулу (51) с учетом выражения $W_L = I_L \pi^{3/2} R^2 \tau$:

$$W = 8\sqrt{2} \pi^3 \frac{e^2 \omega_p}{c} \left(\frac{I_L}{m\omega_p^3} \right)^2 \frac{R^4 L^2}{(R^2 + L^2)^3} w, \quad (58)$$

где $I_L = cE_L^2/(8\pi)$ – плотность потока лазерного излучения. Энергия (58) при условии $R^2 = 2L^2$ имеет максимальную величину

$$W_{\max} \approx 52 \frac{e^2 \omega_p}{c} \left(\frac{I_L}{m\omega_p^3} \right)^2 w. \quad (59)$$

Приведем оценку энергии и частоты генерируемых поверхностных волн. В качестве мишени используем полупроводник с плазменной частотой $\omega_p \approx 2 \times 10^{14} \text{ с}^{-1}$ и частотой столкновений электронов $\nu_s \approx 10^{13} \text{ с}^{-1}$. Примем, что плотность потока $I_L \approx 10^{12} \text{ Вт/см}^2$, длительность импульса $\tau \approx 400 \text{ фс}$, а несущая частота $\omega_0 \approx 2 \times 10^{14} \text{ с}^{-1}$. Строго го-

воря, при $\omega_0 \approx \omega_p$ формула (59) требует уточнения. Однако из сравнения выражения (59) с результатами, полученными в [13] при $\omega_0 > \omega_p$, можно заключить, что оптимальные условия генерации достигаются именно при $\omega_0 \approx \omega_p$, а формула (59) пригодна для оценок и при таких частотах. Для принятых параметров длина импульса $L \approx 120 \text{ мкм}$, а $R \approx 170 \text{ мкм}$. Характеризующий влияние столкновений параметр $\gamma_s \approx 7$, и в соответствии с рис.3 величина $w \approx 30$. В этих условиях, согласно формуле (50), максимум излучения имеет место на частоте 0.5 ТГц , а полная энергия излучения (59) составляет $0.5 \times 10^{-12} \text{ Дж}$. Поскольку полная энергия в импульсе равна $6 \times 10^{-4} \text{ Дж}$, то эффективность преобразования весьма мала – примерно 10^{-9} . Вместе с тем, как видно из соотношения (59), в проводниках с меньшей плазменной частотой и при большей интенсивности излучения эффективность генерации можно существенно повысить. Однако выбирать слишком большую интенсивность не следует из-за эффективного нагрева электронов, а затем и решетки. Отметим также, что в металлах, где плазменная частота велика, эффективность генерации поверхностных волн при пондеромоторном воздействии падающего вдоль нормали к поверхности образца сфокусированного лазерного импульсного излучения меньше, чем в полупроводниках.

Работа выполнена при поддержке РФФИ (грант № 12-02-00744) и программы Президиума РАН № 24.

1. Raether H.R. *Surface Plasmons on Smooth and Rough Surfaces and on Gratings* (New York: Springer-Verlag, 1988, vol. 111).
2. Irvine S.E., Elezzabi A.Y. *Appl. Phys. Lett.*, **86**, 264102 (2005).
3. Welsh G.H., Wynne K. *Opt. Express*, **17**, 2470 (2009).
4. Майер С.А. *Плазмоника: Теория и приложения* (М.: R&C dynamics, 2011, с.22).
5. Kim S., Jin J., Kim Y.-I., Park Y.-J., Kim Y., Kim S.W. *Nature*, **453**, 757 (2008).
6. Kadlec F., Kuzel P., Coutaz J.-L. *Opt. Lett.*, **29**, 2674 (2004).
7. Kroo N., Farkas Gy., Dombi P., Varro S. *Opt. Express*, **16**, 21656 (2008).
8. Ионин А.А., Кудряшов С.И., Селезнев Л.В., Синицин Д.В., Емельянов В.И. *Письма в ЖЭТФ*, **97**, 139 (2013).
9. Parashar J., Pandey H.D., Tripathi V.K. *J. Plasma Phys.*, **59**, 97 (1998).
10. Wang X.Y., Downer M.C. *Opt. Lett.*, **17**, 1450 (1992).
11. Кудряшов С.И., Емельянов В.И. *Письма в ЖЭТФ*, **73**, 751 (2001).
12. Lindgren T., Larsson J., Stenflo L. *Plasma Phys.*, **24**, 1177 (1982).
13. Фролов А.А. *Физика плазмы*, **33**, 206 (2007).
14. Гуржи Р.Н. *ЖЭТФ*, **35**, 965 (1957).